Протультато получено уравнение регрессии для фактических переменных:

$$\overline{y} = -123,073 + 2613,845 x_1 + 68,158 x_2 + 0,0695 x_3 -$$

$$-1338,314 x_1 x_2 - 2,141 x_1 x_3 - 0,0427 x_2 x_3 + 1,0158 x_1 x_2 x_3.$$

Формула перехода от усилия торцевания, полученного на модельной установка в масштабе 1:10 к натуре,

$$F_{\rm H} = F_{\rm M} \cdot \alpha_I^3 = F_{\rm M} \cdot 1000,$$

где a, — линейный масштаб, равный 10.

Проведенные исследования позволили установить степень влияния факторов на усилие торцевания пачек круглых лесоматериалов. Полученное уравнение регрессии адекватно описывает процесс выравнивания торцов пачек бревен, и его можно использовать для расчета усилия торцевания.

ЛИТЕРАТУРА

1. Щербаков В.А. Лесосплавные рейды. — М.: Лесн. пром-сть, 1979. — С. 78—80. 2. Борисов М.В., Козлов А.В. Исследование усилий торцевания пачек бревен // Тр. ВКНИИВОЛТ. — 1971. — Вып. 11. — С. 64—68. 3. Гончаренко Н.Т. Погрузка и выгрузка лесоматериалов. — М.: Лесн. пром-сть, 1970. — С. 156—158. 4. Кожанов Д.И. Исследование процесса торцовки и переплотки пучков // Сб. науч. тр. ВКФУНИИлесосплава. — 1959. — Вып. 5. — С. 47—69. 5. Адлер Ю.П., Маркова Е.В., Грановский Ю.В. Планирование эксперимента при поиске оптимальных условий. — М.: Наука, 1976. — 279 с. 6. Пижурин А.А. Современные методы исследований технологических процессов в деревообработке. — М.: Лесн. пром-сть, 1972. — 248 с. 7. Мазуренко А.П. О качестве укладки бревен в накопителе // Изв. вузов. Лесн. журн. — 1966. — № 6. — С. 67—72. 8. Лебедь С.С., Янковский Ю.В. Моделирование процесса формирования пакетов бревен // Механизация лесоразработок и транспорт леса. — Минск; Выш. шк., 1984. — Вып. 14. — С. 43—49.

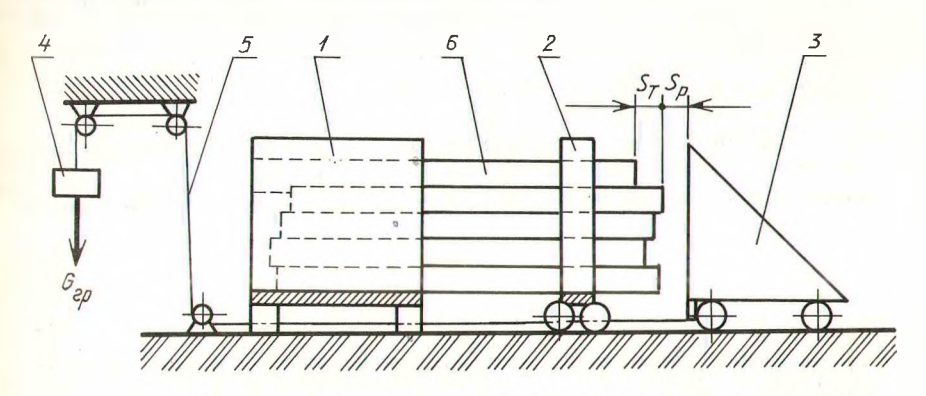
УДК 634.323.7.001.6

С.С. ЛЕБЕДЬ

МОДЕЛИРОВАНИЕ ПРОЦЕССА ВЫРАВНИВАНИЯ ТОРЦОВ ПАЧЕК БРЕВЕН

При формировании пакетов для сокращения времени простоя транспортных средств под погрузкой, а также для дальнейшей переработки круглых лесоматериалов необходимо выравнивание торцов пачек бревен. Это один из наиболее трудоемких процессов на лесных складах и лесоперевалочных предприятиях. Для механизации данного процесса нами предложено новое конструктивное решение — торцевыравниватель гравитационно-силового принципа действия [1] (рис. 1). Он состоит из совмещенной с неподвижным вертикальным щитом люльки 1, опорного коника 2, подвижного торцующего щита 3, груза-аккумулятора 4, соединенного с подвижным щитом 3 и приводом подъема (на рисунке не показан) трособлочной системой 5.

Работает устройство следующим образом. При включении электромеханического привода щит 3 отводится в правое заданное положение, а груз 4 одновременно поднимается в верхнее исходное положение, после чего система фиксируется тормозом. Устройство готово к выполнению работы по выравниванию торцов пачки бревен. При опускании пачки бревен 6 в люльку система снимается с тормоза. Опускающийся груз приводит в движение щит 3, который, пройдя путь разгона $S_{\mathbf{p}}$, вступает во взаимодействие с торцами бревен пачки. С момента контакта с пачкой щит и груз проходят путь $S_{\mathbf{r}}$, равный разбегу бревен в пачке, и система останавливается. Включается привод отвода щита 3 и подъема груза-аккумулятора. Одновременно с отводом щита пачка бревен удаляется из люльки. Цикл повторяется.



Puc. 1. Принципиальная схема торцевыравнивающего устройства.

В рабочей части цикла следует рассматривать две стадии неустановившегося движения системы тел.

Первая стадия — это неустановившееся движение связанных гибкой нерастяжимой нитью груза 4 и щита 3 на расстояние $S_{\bf p}$. Путь разгона $S_{\bf p}$ необходим для накопления системой кинетической энергии, используемой для выравнивания торцов пачки бревен. Очевидно, увеличение $S_{\bf p}$ позволяет уменьшить массу груза, но в то же время ведет к увеличению высоты его подъема, которая ограничивается габаритами работающих на складе погрузочных средств.

Вторая стадия — это перемещение груза 4 со щитом 3 и контактирующими с последним бревнами, массу которых на пути $S_{_{\rm T}}$ можно принять изменяющейся от 0 до массы пачки бревен. После прохождения пути $S_{_{\rm T}}$ система останавливается из-за упора пачки бревен в неподвижный щит люльки. При этом происходит механический удар, численное значение которого зависит от массы системы и ее конечной скорости.

Рассматривая связь груза со щитом как гибкую нерастяжимую нить и пренебрегая силами трения в блоках и катках щита, математическую модель первой стадии движения системы можно представить в следующем виде:

$$d\left(m_{\rm rp} v + m_{\rm u} v\right) = m_{\rm rp} g dt, \tag{1}$$

где $m_{
m rp}, m_{
m u}$ и v — соответственно массы груза-аккумулятора, подвижного

щита и скорость их движения; g — ускорение силы тяжести; t — время — движения.

Поскольку в начальный момент система находилась в покое, а переменными, согласно уравнению (1), являются только v и t, после преобразований и решения получим

$$v_{p} = \sqrt{\frac{2 m_{pp} gS_{p}}{m_{pp} + m_{ul}}}, \qquad (2)$$

где $v_{\rm p}$ — скорость движения механической системы груз — щит в конце пути разгона.

Математическую модель второй стадии движения, когда механическая система состоит из груза, щита и контактирующих с последним бревен, можно представить в виде

$$d((m_{rp} + m_{ut} + m) v) = (m_{rp}g - F) dt,$$
(3)

где m и F — соответственно масса бревен, контактирующих и перемещающихся со щитом, и сила сопротивления перемещению этих бревен.

Теоретические и экспериментальные исследования показали, что обе физические величины можно рассматривать как функции пути щита. т.е.

$$m = f_1(S), \tag{4}$$

$$F = f_2(S), \tag{5}$$

где ${\cal S}$ — путь, проходимый торцующим щитом во второй стадии движения и изменяющийся от 0 до ${\cal S}_+$.

Вид функций f(S) и $f_2(S)$ можно определить по опытным данным. С учетом функций (4) и (5) зависимость (3) примет вид

$$d((m_{rp} + m_{ul} + f_1(S)) v = (m_{rp}g - f_2(S)) dt$$

или после некоторых преобразований

$$\frac{dv}{dS} = \frac{m_{\rm PD} g - f_2(S) - f_3(S) v^2}{(m_{\rm PD} + m_{\rm LL} + f_1(S)) v},$$
 (6)

где

$$f_3(S) = \frac{d(f_1(S))}{dS}$$

Следует иметь в виду, что модель (6) действительна и для торцевыравнивателя с двумя подвижными щитами, однако в последнем случае под $m_{_{\mbox{\sc u}}}$ следует понимать суммарную массу щитов.

Так как полученная математическая модель (6) движения системы во второй стадии процесса выравнивания торцов пачек бревен представляет собой дифференциальное уравнение $dv/dS=f\left(v_{\perp}S\right)$, то ее можно решить одним из численных методов, например методом Эйлера. При этом расчетные формулы будут иметь следующий вид:

 $v_{i+1} = v_i + hf(v_1S_i)$; $S_{i+1} = S_i + h$, где шаг $h = (S_n - S_0)/n$, i = 0,1,2,...,n-1, т.е. вычисления по формулам выполняются n раз.

Для дифференциального уравнения (6) при $S_0 = 0$ и $S_n = S_{\tau}$ интервал решения будет $[0, S_{\tau}], v(S_0) = v_{D}$.

Как показали теоретические и экспериментальные исследования, функции (4) и (5) в первом приближении могут быть представлены в виде

$$f_{i}(S) = aS^{1}; (7)$$

$$f_{s}(S) = bS^{k}, \tag{8}$$

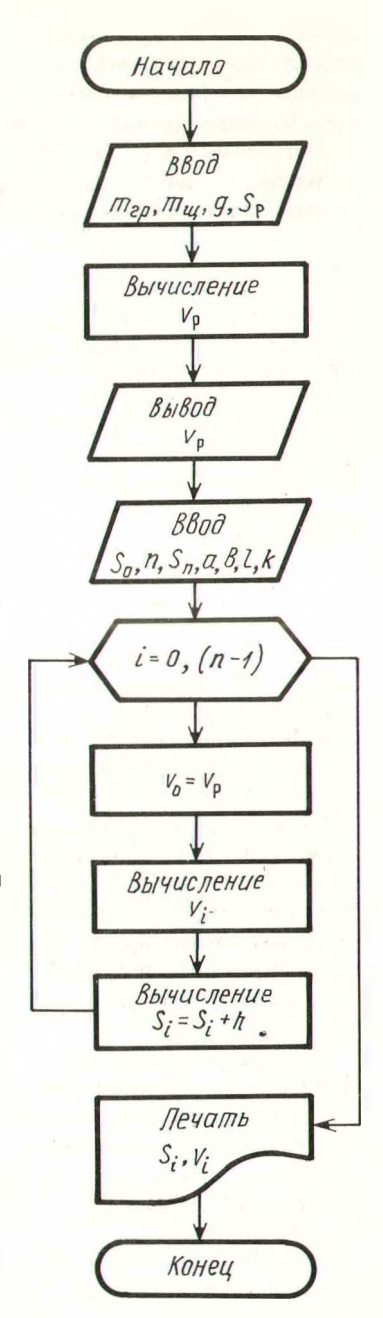
тогда математическая модель (6) с учетом формул (7) и (8) примет вид

$$\frac{dv}{dS} = \frac{m_{\rm rp}g - bS^k - alS^{l-1}v^2}{(m_{\rm rp} + m_{\rm ul} + aS^l) v}$$
 (6')

Алгоритм решения задачи исследования процесса выравнивания торцов пачек бревен, включающий математические модели (2) и (6) или (2) и (6'), показан на рис. 2. Для его осуществления вводятся такие исходные данные, как $m_{\rm rp}$, $m_{\rm ul}$, g, $S_{\rm p}$, а также $S_{\rm o}$, n, $S_{\rm n}$, a, b, l, k. Далее по формуле (2) вычисляется скорость движения механической системы груз—щит в конце пути разгона. Затем решаются дифференциальные уравнения (6) или (6') методом Эйлера. Полученные данные выводятся на печать.

Численные значения параметров a, l, b и k, входящие в выражения (6'), (7) и (8), зависят от размерно-качественных и физико-механических характеристик предметов труда — круглых лесоматериалов и определяются опытным путем.

Математическое моделирование процесса выравнивания торцов пачек бревен в устройствах гравитационно-электромеханического принципа действия позволяет решать задачи по оптимизации его параметров: массы груза-аккумулятора, габаритных размеров, мощности привода, обусловленного



Puc. 2. Алгоритм решения задачи

массой груза-аккумулятора. Основными критериями оптимизации служат скорость щита в конце процесса торцевания и масса груза-аккумулятора, от которых зависят значения динамических нагрузок на конструкцию и мощность привода, а следовательно, металлоемкость и энергоемкость устройства.

Получаемые зависимости ν и S, их аппроксимация позволяют решать ряд других задач, связанных как с разработкой конструкции устройства, так и с расчетом его производительности, эффективности применения.

ЛИТЕРАТУРА

1. Лебедь С.С., Жарков Н.И., Барбарчик В.А. Торцевыравнивающая установка ТГС-10 // Механизация лесоразработок и транспорта леса. — Минск: Выш. шк., 1985. — Вып. 15. — С. 54—57.

УДК 634.243

А.П. МАТВЕЙКО, Л.Ф. ПОПЛАВСКАЯ, М.К. ЯКОВЛЕВ

МАЛООТХОДНЫЕ ТЕХНОЛОГИЧЕСКИЕ ПРОЦЕССЫ НА ПРОРЕЖИВАНИЯХ И ПРОХОДНЫХ РУБКАХ

В настоящее время в Белоруссии при прореживаниях и проходных рубках наиболее широко применяется среднепасечная технология с заготовкой сортиментов на лесосеке и трелевкой их на верхний склад.

Валку, обрезку сучьев и раскряжевку осуществляют бензопилами, трелевку сортиментов — колесными тракторами с навесным трелевочным оборудованием. Обрубленные сучья собирают в кучи и сжигают. При такой технологии используют только стволовую часть, в результате чего теряется до 40 % надземной биомассы дерева. Кроме того, на очистку деревьев, сбор и сжигание сучьев затрачивается от 0,25 до 1,70 руб. на 1 м³ заготовленной древесины в зависимости от природно-производственных условий, объема хлыста и группы пород.

При такой технологии и механизации на прореживаниях и проходных рубках обеспечить рациональное и полное использование древесного сырья, как этого требует постановление ЦК КПСС и СМ СССР № 890 от 20 августа 1984 г. "Об улучшении использования лесосырьевых ресурсов", не представляется возможным. В этой связи для прореживаний и проходных рубок разработаны пять технологических схем, предусматривающих полное использование вырубаемой биомассы.

По первой технологической схеме производится заготовка деловых сортиментов, дров и зеленой щепы из сучьев. Технологический процесс состоит из семи операций: валки, трелевки деревьев за комли, очистки деревьев от сучьев на верхнем складе, раскряжевки на сортименты, штабелевки сортиментов, измельчения сучьев и вершин на щепу и вывозки щепы. По методике, предложенной М.О. Даугавиетисом [1], эту схему можно записать так: